

日本鋼管(株)

鈴木健治

正会員 吉田常松

○植松幹夫

1. 前書き 今日、海洋開発の進展に伴い海洋 space の活用が広く望まれる様になつたが、これまで、保留浮遊物体の挙動については未解決の分野が多く残されている。本研究は浮遊物体として円筒形浮体を選び、これをバネで保留した場合について、バネ定数、保留角、保留点等を変化させて浮体の動搖性能と保留束張力を求め、保留による効果を調べたものである。この様に簡略化して実験を行なう事により保留物体の基本的挙動式把握されるとと思われる。

2. 実験概要 水槽全体図を図-1に示す。水槽寸法は $5 \times 10 \times 0.75$ m³ である。浮体を図の様にバネヒビア線で波進行方向と平行に4点保留し、端部リングにて束張力を測定した。また、浮体の動搖(heave, pitch, surge)は浮体上部に取付けた運動測定装置を用いて測定した。浮体の主要寸法を図-2表-1に示す。浮体はaluminium製である。喫水(d)は保留しない時34cm、保留時38cm($d/D=0.76$)とした。実験項目は表-2に示す通り(1)保留角 α の変化として α を 20° から順次増し 90° (範囲)、更に束をCROSSして -20° まで行なった。(2)保留点との変化として、浮体の重心が $KG = 10.5$ cmであるので、 l を0, 10.5, 21.0cmと変化させた。(3)バネ定数 k の変化として k を32.0(ヒビア線のみ)から0.8, 0.4, 0.2kg/cmと変化させた。尚、実験時の波高($=2Ja$)は約1cmであり、波周期は約0.6~1.3secである。計測項目は浮体の heaving, pitching 及び surging amplitude 及び束張力である。

3. 結果と考察 (1)保留角を変化させた場合の実験結果を図-3~6に示す。

紙面の関係上 $\alpha=20^\circ, 60^\circ, 90^\circ, -20^\circ$ を代表して載せた。図-3にheaveを示す。図中の Za/Ja は heaving amplitude Za と 波高 Ja の比、 λ/D は 波長入と浮体の径 D の比である。また、矢印は heave の固有周期位置を示す。図より α が増大するにつれて heave が急減する傾向がある。また、同じ α では束をCROSSした方が動搖が減少する事は興味深い。一般には固有周期と同調して peak 値が存在するが、本実験では明瞭な peak が表められない。次に図-4に pitch を示す。図中 θ_a/Ka は pitching amplitude θ_a と 波傾斜角 Ka の比を示す。 α によって固有周期(矢印)が大きく変化し、 α の増大に伴い pitching 角が減少しているのが分かる。この場合、同じ α に於て CROSSした時は、固有周期が大きくなる($\alpha=20^\circ$ で $\lambda/D=12.7$)ことは同時に $\lambda/D < 4$ の範波長域に於て

は open type と比して pitching 角が約半分に減少している。但し別途測定した減衰定数は CROSSの方が減少しているので($\alpha=20^\circ$ で $h=0.12$, $\alpha=-20^\circ$ で $h=0.02$) CROSSに於ける peak 値は open より増大する様である。図-5は surge(ta)を示すが、pitch の場合と同様の挙動を示している事が分かる。尚、図中の矢印は pitch の固有周期を示す。図-6は保留束 a (図-1)の張力(浮体前面の2本の束

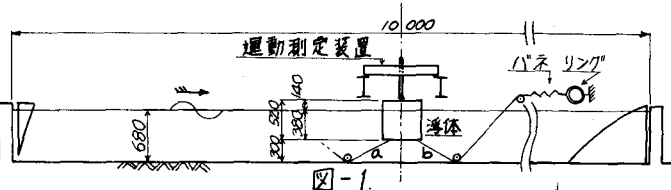


図-1.

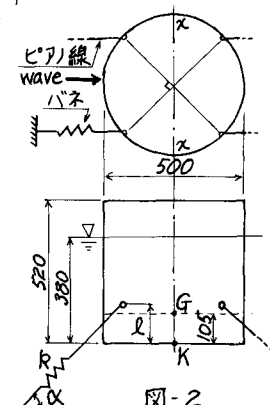


図-2.

径 D	50 cm
高さ	52 cm
重量	66.8 kg
重心位置 (KG)	10.5 cm
慣性モーメント I_{zz}	2.01×10^4 kg cm ²

表-1.

	α (度)	l (cm)	k (kg/cm)	wave T J_a	喫水	水深
(1) 保留角 の 変化	20					
	30					
	45					
	60	0	0.8			
	90					
	-40° -30° -20°			0.6 ?	約38 cm	68 cm
(2) 保留点 の変化	30	0	0.8			
	10.5 21.0			1.3 sec.	自由 34 cm	
(3) バネ定数 の変化	30	0	32.0			
			0.8			
			0.4			
			0.2			

* CROSS ** ヒビア線のみ

表-2

にかかる変動張力の平均)をplotしたものである。図中 F/Ja は束張力 F と波高の比である。浮体の動揺の場合と同様に、 α が増大するにつれて束張力も急減する傾向を示し、更に cross した場合は open よりも大幅に減少している事が分かる。図中矢印は pitch の固有周期を示している。尚、ここでは図を省略したが、浮体後面の束張力についても同様の傾向を示している。以上より今回の実験の範囲に於ては束を cross する事が浮体の動揺及び束張力へ多大の効果を及ぼす事が判明した。(2) 係留点を変化させた場合の実験結果を図-7, 8 に示す。係留点と重心の比は $l/Rg = 0, 1.0, 2.0, 2.7$ である。図-7 は pitch, 図-8 は surge を示す。図より、係留点を浮体底面から順次上に上げるごとに、 $\lambda/D < 4$ の範囲に於ける pitch, surge 共に揺れが減少するという傾向を示している。しかししながら、固有周期に同調する peak 値を比較すれば、係留点を重心位置に置くと peak は減少し係留位置によく効果が認められるが、係留点を更に重心より高くすると、固有周期が伸び ($l = 21.0\text{cm}$ の時の pitch の固有周期は $\lambda/D \approx 6.9$) pitch, surge 共に peak 値は大きくなり、ゆくと考えられる。尚、heave の測定結果はより変化により、もはや明瞭な変化が生じず、かつ動揺量も微少であるためグラフ化を省略した。(3) バネ定数を変化させた場合の実験結果を図-9~11 に示す。

$K = 32\text{kg/cm}$ は係留索末端に付属のバネをばし、ヒア線のみ(約 5m)の場合である。今回の実験では束張力が小さい場合(約 1~2kg/cm) $K = 32\sim 0.4\text{kg/cm}$ ではバネ定数の変化による影響は見られないが、 $K = 0.2\text{kg/cm}$ の場合には(図中 X-印)、heave は α が減少する事により全般的に増大する傾向を示し、また、pitch 及び surge については $\lambda/D > 2.5$ 附近で急激に揺れが減少するという興味深い結果を得た。

3. 結論 本研究は円筒形浮体を用いて、種々係留方式を変化させた場合の、係留による効果を調べたものである。状況、 λ/D が約 4 以下の短波長域に於ける係留角度を増加させた程、また、係留点を重心位置に置く程係留効果が大きくなる事が分かった。特に、係留索を cross した時の効果は多大である。

尚、本研究は運輸省船舶技術研究所海洋開発工学部の係留水槽を借用して行つたものであり、実験実施に当たり、工学部長以下職員の方々から多大の助言と便宜を頂き、ここに深く感謝の意を表します。

